

## مطالعه برهمکنش رنگ خوراکی قرمز آلورا با پیسین توسط طیف سنجی فلورسانس

فاطمه السادات محسنی شهری\*

ایران، بندرعباس، دانشگاه آزاد اسلامی واحد بندر عباس، گروه شیمی

تاریخ پذیرش: ۱۳۹۸/۳/۲۳ تاریخ دریافت: ۱۳۹۸/۶/۴

### چکیده

در این مقاله برهمکنش پیسین با رنگ خوراک قرمز آلورا با استفاده از روش طیف سنجی فلورسانس در شرایط شبه فیزیولوژیک مورد بررسی قرار گرفت. نتایج نشان داد رنگ قرمز آلورا می‌تواند فلورسانس ذاتی پیسین را کاهش دهد، ثابت سرعت خاموشی ( $k_{\text{off}}$ ) نشان می‌دهد که مکانیسم خاموشی از نوع پایا (استاتیک) است. ثابت اتصال ظاهری ( $K_a$ )، تعداد جایگاه اتصال ( $n$ ) در دمای مختلف مورد ارزیابی قرار گرفتند. نتایج نشان می‌دهند با افزایش دما ثابت اتصال رنگ قرمز آلورا به پیسین کاهش می‌یابد. آنتالپی ( $\Delta H^\circ$ ) و آنتروپی ( $\Delta S^\circ$ ) برهمکنش بین رنگ قرمز آلورا و پیسین به ترتیب  $-45/584$  و  $-49/052$  (kJ mol<sup>-1</sup>) و  $-49/052$  (J mol<sup>-1</sup>) محاسبه گردید که نشان دهنده نقش مهم هیدروژنی و برهمکنش‌های واندروالسی در این اتصال می‌باشد، علامت منفی مربوط به تغییرات انرژی آزاد ( $\Delta G^\circ$ ) بیانگر تعایل اتصال رنگ به پروتئین است. طیف سنجی فلورسانس همزمان نشان داد که محیط اطراف باقی مانده‌های تریپتوфан و تیروزین در فرآیند اتصال تغییرقابل توجهی نداشته است. بر اساس داده‌های تجربی، اتصال بین رنگ قرمز آلورا و پروتئین می‌تواند فعالیت پیسین را مهار کند.

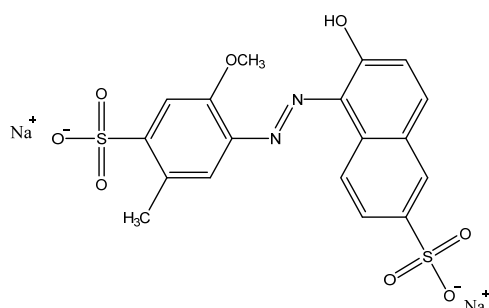
**واژه‌های کلیدی:** پیسین، رنگ قرمز آلورا، طیف سنجی فلورسانس، فعالیت آنزیم

\* نویسنده مسئول، تلفن ۰۷۶۳۳۶۵۵۰۰، پست الکترونیکی: f.mohseni@iauba.ac.ir

### مقدمه

رنگدانه غذایی مصنوعی است که دارای مقاومت بسیار بالایی است و در بسیاری از محصولات غذایی مانند پوشش آب نبات، بستنی، لواشک، نوشیدنیها و شیرینی استفاده می‌شود.

رنگهای غذایی به طور گسترده‌ای در صنایع غذایی مورد استفاده قرار می‌گیرند تا مواد غذایی را با هدف جذب مصرف کنندگان بهبود بخشد. در مقایسه با رنگهای طبیعی، رنگهای مصنوعی به دلیل پایداری بالای آنها در برابر نور، اکسیژن، pH، یکنواختی رنگ، آلودگی میکروبیولوژیکی کم و هزینه‌های نسبتاً پایین تولید کاربرد بیشتری دارند (۹). با این حال، برخی از رنگهای مصنوعی برای بدن انسان مضر هستند، به ویژه اگر آنها بیش از حد مصرف شوند (۱۵). بنابراین، مانند بسیاری از مواد افزودنی خوراکی دیگر، کنترل دزهای رنگ در صنایع غذایی بسیار مهم است.



شکل ۱- ساختار مولکولی قرمز آلورا

تحقیقات پیشین نشان می‌دهد که رنگ قرمز آلورا در موش صحرایی توسط میکروفلور روده تجزیه شده و

قرمز آلورا (Allura red) (ساختار نشان داده شده در شکل ۱) رنگ محلول در آب، متعلق به خانواده منوآزو از

در این تحقیق، مکانیسم مولکولی برهمکنش رنگ قرمز آلورا با پیسین با استفاده از روش طیف سنجی فلورسانس مطالعه شده است. با استفاده از معادله اشتتن-ولمر، سازوکار خاموشی فلورسانس پیسین با رنگ قرمز آلورا ارزیابی شده و همچنین پارامترهای ترمودینامیکی و فعالیت آنزیم پیسین در حضور رنگ خوارکی مورد بررسی قرار گرفته است.

## مواد و روشها

پیسین خوکی با درجه خلوص بالای ۹۰ درصد و رنگ قرمز آلورا از شرکت معتبر سیگما-آلدریچ خریداری شدند. برای ثابت نگه داشتن pH محلول پیسین و هموگلوبین گاوی (شرایط فیزیولوژیک،  $pH=2$ ) از محلول بافر سدیم سیترات-اسید سیتریک ( $0.2\text{ Molar}$ ) حاوی  $0.1\text{ Molar}$   $\text{NaCl}$  استفاده شد. کلیه محلولها با بافر سدیم سیترات-اسید سیتریک تا حجم مورد نظر رقیق شدند. کلیه مواد شیمیایی دارای خلوص تجزیه ای بودند و بدون خالص سازی استفاده شدند. تمام محلولهای تهیه شده تا زمان استفاده در یخچال (دماه ۴ درجه سانتی گراد) و تاریکی نگهداری شدند.

کلیه طیفهای فلورسانس پیسین در غیاب و حضور قرمز آلورا توسط یک دستگاه فلورومتر (Jasco FP-6200) مجهز به سل کوارتز  $10\text{ mm}$  سانتیمتر ثبت شدند. طول موج تهییجی  $280\text{ nm}$  نانومتر انتخاب شد و طیف نشری در محدوده طول موج  $300\text{ nm}$  تا  $500\text{ nm}$  در دمای  $298\text{ K}$  و  $310\text{ nm}$  کلوبین ثبت شدند. غلظت اولیه پیسین  $40\text{ }\mu\text{M}$  بود و غلظت قرمز آلورا بین  $0.0\text{ }\mu\text{M}$  تا  $12.0\text{ }\mu\text{M}$  میکرومولار با گرادیان رشد  $2.0\text{ }\mu\text{M}/\text{mL}$  تغییر کرد و پس از انکوبه شدن به مدت ۳ دقیقه در دمای مورد نظر طیف فلورسانس ذاتی پروتئین در طول موج تهییجی ثبت شد. طیفهای فلورسانس همزمان ( $15\text{ nm}$ ،  $\Delta\lambda = 60\text{ nm}$ ) با طول موج  $250\text{ nm}$  تا  $350\text{ nm}$  در دمای اتفاق ثبت شدند. غلظت پیسین و قرمز آلورا در آزمایش‌های فلورسانس مشابه بود. برای حذف اثر

باعث تولید سم، عوامل سرطان‌زا و موتاژنیک می‌شود<sup>۴</sup> و  $20$ . یافته‌ها نشان می‌دهد که رنگ قرمز آلورا می‌تواند سبب آسیب DNA در روده بزرگ موش شود<sup>۱۸</sup>. همچنین نشان داده شده است که رنگ قرمز آلورا می‌تواند موجب تغییرات فیزیولوژیک، آسیب به بافت و تغییرات ساختاری جدی کبد و کلیه در موش شود<sup>۶</sup> و <sup>۷</sup>. با توجه به خطرات سلامتی بالقوه، رنگ قرمز آلورا برای مصرف کودکان در اروپا توصیه نمی‌شود.

پیسین آنزیم پروتولیتیک اصلی در اسید معده است. پیسین به عنوان یکی از پروتئازهای گوارشی توسط سلولهای اصلی معده آزاد می‌شود. وزن مولکولی پیسین  $35500$  دالتون است و دارای یک زنجیره آنزیمی پلی پپتیدی حاوی  $327$  باقی مانده آمینواسیدی است<sup>۱۹,۲۰</sup> و <sup>۲۵</sup>. پیسین دارای  $5$  باقی مانده تریپتوفان (Trp39)، Trp181، Trp190، Trp141 و Trp300 و  $13$  باقی مانده تیروزین (Tyr) و  $13$  باقی مانده فنیل آلانین (Phe) است<sup>۲۵</sup> و <sup>۲۶</sup>. پنج باقی مانده تریپتوفان می‌تواند به عنوان فلوروفورهای ذاتی برای فراهم کردن اطلاعاتی در زمینه برهمکنش لیگاند-پیسین و تغییرات کنفورماسیونی ناشی از اتصال به لیگاند استفاده شود<sup>۱۳</sup>. اتصال مولکولهای کوچک با پیسین موجب تغییرات سازوکار و فعالیت آن می‌شود<sup>۷</sup>. وانگ و همکارانش برهمکنش متقابل رنگ قرمز آلورا با سرم آلبومین انسانی را مورد مطالعه قرار دادند<sup>۲۱</sup>. نتایج نشان داد که بین رنگ قرمز آلورا و سرم آلبومین برهمکنش وجود دارد. با این حال، رنگ قرمز آلورا قبل از این که وارد پلاسمای خون شود و با سرم آلبومین و پروتئینهای دیگر ارتباط برقرار کند، ابتدا وارد سیستم گوارش شده و به طور مستقیم به برخی از آنزیمهای گوارشی متصل می‌شود. در زمینه اتصال رنگ قرمز آلورا به پیسین اطلاعات کمی وجود دارد و نیاز است در این زمینه مطالعاتی انجام شود.

نانومتر است، تنها باقی مانده تریپتوفان برانگیخته می‌شود. خاموشی فلورسانس کاهش بهره کوانتمی فلورسانس فلوروفور ناشی از انواع مختلف برهمکنش‌های مولکولی مانند واکنش‌های حالت بر انگیخته، تشکیل کمپلکس حالت پایه، انتقال انرژی و خاموشی در نتیجه برخورد است (۸) (۷، ۲۸ و ۲۹). نمودار شدت فلورسانس در مقابل طول موج نشری در طول موج تهییج ۲۸۰ نانومتر رسم شده است (شکل ۲a). همان طور که مشاهده می‌شود با افزایش غلظت قرمز آلورا شدت نشر پروتئین کاهش می‌یابد و خاموشی فلورسانس اتفاق می‌افتد. همچنین در اثر اتصال رنگ قرمز آلورا به پروتئین طول موج ماکریم به سمت طول موجهای کمتر یعنی به سمت ناحیه آبی متغیر می‌شود. این انتقال زمانی رخ می‌دهد که باقیمانده‌های تیروزین و تریپتوفان از محیط آبدوست به محیط آبگریز انتقال یابند و این نشان دهنده کاهش قطبش پذیری محیط اطراف کروموفور است (۲۲).

همچنین می‌توان نتیجه گرفت با اتصال رنگ قرمز آلورا به پیسین فلوروفورهای این پروتئین به سمت داخل پروتئین رفته و محیط شان آبگریز تر شده است. برای تعیین سازوکار اتصال بین پیسین و قرمز آلورا، داده‌های شدت فلورسانس با استفاده از معادله اشتتن- ولمر تحلیل شدن (۱) و (۱۱):

$$\frac{F_0}{F} = 1 + K_{q,T_0}[Q] = 1 + K_{q,T_0}[Q] \quad (1)$$

در این معادله  $F_0$  و  $F$  به ترتیب شدت فلورسانس پروتئین در غیاب و حضور خاموش کننده  $K_q$  ثابت سرعت خاموشی پروتئین،  $K_{SV}$  ثابت اشتتن- ولمر،  $T_0$  طول عمر فلورسانس پروتئین در غیاب خاموش کننده ( $\tau_0 = 10^{-8} \text{ s}$ ) (۲۷) و  $[Q]$  غلظت خاموش کننده است. بدیهی است که:

$$K_{SV} \cdot K_{q,T_0} \quad (2)$$

فیلتر داخلی، نیاز است مقدار شدت فلورسانس نمونه‌ها برای جذب آنها در طول موجهای تهییجی و نشری با استفاده از معادله زیر تصحیح شوند:

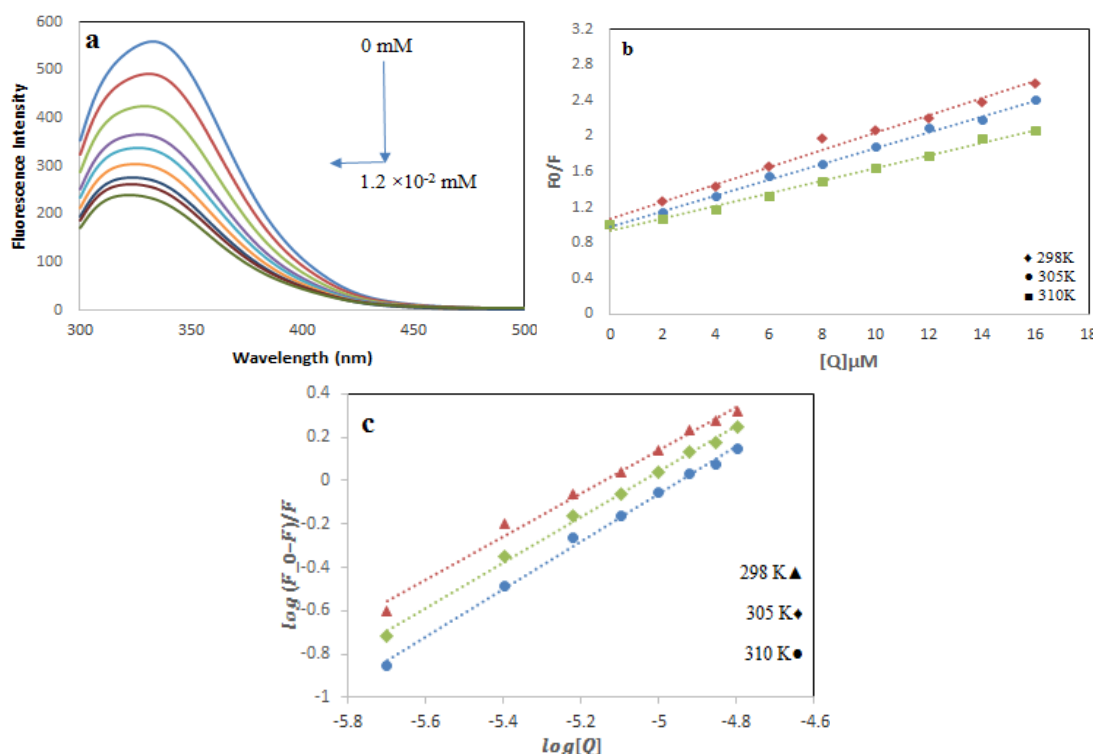
$$F_0 = F * \text{antilog} \left\{ \frac{A_{em}}{2} \right\}$$

در این معادله  $F_0$  و  $F$  به ترتیب شدت نشر فلورسانس اندازه گیری شده و تصحیح شده می‌باشند.  $A_{em}$  و  $A_{ex}$  جذب لیگاند (خاموش گر) در طول موج تهییجی و نشری می‌باشند (۱۰).

فعالیت آنزیم با استفاده از روش دقیق آنسون با برخی اصلاحات بررسی شد. پیسین (۲۰/۰ میکرومولار) با غلظتها مختلفی از رنگ قرمز آلورا (۰/۰۷، ۰/۰۶، ۰/۰۵، ۰/۰۴، ۰/۰۳، ۰/۰۲، ۰/۰۱، ۰/۰۰۵، ۰/۰۰ میلی مولار) در بافر سیترات سدیم ( $\text{pH}=۲/۰$ ) و در دمای  $۳۱۰\text{ K}$  به مدت ۲۰ دقیقه مخلوط شد و سپس ۲/۰ میلی لیتر از محلول هموگلوبین گاوی ۵ درصد اضافه شد. پس از گذشت ۲۰ دقیقه برای خاتمه واکنش ۲ میلی لیتر تری کلرواستیک اسید (۱۰ درصد وزنی) اضافه شد. مخلوط به مدت ۵ تا ۱۰ دقیقه نگهداری شد و سپس به مدت ۱۵ دقیقه با سرعت ۵۰۰۰ دور در دقیقه سانتریفوژ شد. در نهایت به ۴/۰ میلی لیتر از محلول صاف شده، ۱ میلی لیتر  $\text{NaOH}$  (۰ مولار) و ۱ میلی لیتر رقیق کننده فنول اضافه شد و سپس این مخلوط در دمای  $۳۱۰\text{ K}$  به مدت ۱۵ دقیقه انکوبه شد (۳).

## نتایج و بحث

خاموشی فلورسانس پیسین: به منظور بررسی نوع برهمکنش رنگ قرمز آلورا با پیسین اندازه گیریهای فلورسانس انجام شد. فلورسانس ذاتی پیسین معمولاً مربوط به حضور باقی مانده‌های تریپتوفان (Trp) و تیروزین (Tyr) است. هنگامی که طول موج تهییجی



شکل ۲- (a) اثر افزایش غلظت رنگ قرمز آلورا بر طیف نشری پپسین در طول موج تهییجی ۲۸۰ نانومتر و دمای ۲۹۸ کلوین، جهت پیکان عمودی افزایش غلظت وجهت پیکان افقی انتقال آبی را نشان می‌دهد (b) نمودار اشترن-ولمر کمپکس پپسین-قرمز آلورا در دماهای مختلف (c)

$$\text{نمودار } \log(Q) \text{ در مقابل } \log\left(\frac{F_0 - F}{F}\right)$$

خاموش کننده‌های مختلف همراه بیومولکول  $L \text{ mol}^{-1} s^{-1}$  است (۲۴). نمودار اشترن-ولمر فلورسانس پپسین که توسط قرمز آلورا خاموش شده در شکل ۱b نشان داده شده و نتایج در جدول ۱ گزارش شده است.

ثابت سرعت خاموشی،  $K_q (L \text{ mol}^{-1} s^{-1})$  را می‌توان بر اساس معادله (۲) به دست آورد. عموماً خاموشی دینامیک و استاتیک را می‌توان توسط ثابت خاموشی  $K_q$  از یکدیگر تشخیص داد، به طوری که حداقل ثابت خاموشی دینامیک

جدول ۱- ثابت‌های اشترن-ولمر برای برهمکنش پپسین با رنگ قرمز آلورا در دماهای مختلف

T (K)	$K_{sv} (L \text{ mol}^{-1})$	$K_q (L \text{ mol}^{-1} s^{-1})$	$R^*$
۲۹۸	$9.07 \times 10^{-4}$	$9.07 \times 10^{-12}$	۰.۹۸۷
۳۰۵	$8.84 \times 10^{-4}$	$8.84 \times 10^{-12}$	۰.۹۹۷
۳۱۰	$7.10 \times 10^{-4}$	$7.10 \times 10^{-12}$	۰.۹۹۱

\*: ضریب همبستگی

آلورا به پپسین و تعداد جایگاههای اتصال از معادله ۳ استفاده شد.

$$\log\left(\frac{F_0 - F}{F}\right) = \log K_a + n \log [Q] \quad (3)$$

در این معادله  $F_0$  و  $F$  به ترتیب شدت‌های فلورسانس پروتئین در غیاب و حضور خاموش کننده،  $K_a$  ثابت

با افزایش دما،  $K_{sv}$  کاهش می‌یابد، مقدار  $K_q$  بیشتر از  $L \text{ mol}^{-1} s^{-1}$  است، بنابراین خاموشی فلورسانس پپسین در حضور رنگ قرمز آلورا به واسطه تشکیل کمپلکس پپسین-قرمز آلورا می‌باشد. برای محاسبه ثابت اتصال قرمز

تعداد جایگاه‌های اتصال و عرض از مبدأ لگاریتم ثابت اتصال را می‌دهد<sup>(۸)</sup>. نتایج در جدول ۲ گزارش شده است.

اتصال،  $n$  تعداد جایگاه‌های اتصال و  $[Q]$  غلظت خاموش

$$\log \frac{K_a}{[Q]} \text{ در مقابل}$$

جدول ۲- ثابت اتصال ( $K_a$ ) و پارامترهای ترمودینامیکی برای برهمنکش پیسین و قرمز آلورا

T (K)	$K_a$ (L mol <sup>-1</sup> )	n	R*	$\Delta H^\circ$ (kJ mol <sup>-1</sup> )	$\Delta G^\circ$ (kJ mol <sup>-1</sup> )	$\Delta S^\circ$ (J mol <sup>-1</sup> K <sup>-1</sup> )
۲۹۸	$2/620 \times 10^5$	۱/۰۹۵	۰/۹۹۵	-۴۵/۵۸۴	-۳۰/۹۱۰	-۴۹/۰۵۲
۳۰۵	$1/858 \times 10^5$	۱/۰۴۵	۰/۹۹۶		-۳۰/۷۶۵	
۳۱۰	$1/272 \times 10^5$	۰/۹۹۲	۰/۹۸۹		-۳۰/۲۹۲	

\*: ضریب همبستگی

برای  $\Delta G^\circ$  در محدوده دمایی مورد بررسی بدین معنی است که فرآیند اتصال پیسین به قرمز آلورا به صورت خود به خودی است. بر طبق قوانین خلاصه شده توسط راس و سوبرامانیان (۱۹۸۱)، هنگامی که  $\Delta H^\circ$  و  $\Delta S^\circ$  مثبت هستند، برهمنکش‌های هیدرووفوبی نقش اصلی را در واکنش اتصال ایفاء می‌کنند و مقدار منفی  $\Delta H^\circ$  و  $\Delta S^\circ$  نشان دهنده حضور نیروهای واندروالس و پیوند هیدروژنی در تشکیل کمپلکس هستند. علاوه بر این، برهمنکش الکترواستاتیک با کمپلکس هستند. علاوه بر این، برهمنکش الکترواستاتیک با  $\Delta S^\circ$  مثبت و  $\Delta H^\circ$  منفی مشخص می‌شود که  $\Delta H^\circ$  معمولاً بسیار کوچک و تقریباً برابر با صفر است. نتایج نشان می‌دهند که پیوند هیدروژنی و نیروهای واندروالسی نقش مهمی را در تشکیل کمپلکس رنگ قرمز آلورا با پیسین ایفاء می‌کنند<sup>(۱۶)</sup>.

**طیف سنجی فلورسانس همزمان:** طیف سنجی فلورسانس همزمان اطلاعاتی در زمینه باقی مانده های تیروزین و تریپتوфан پیسین فراهم می‌کند. زمانی که فاصله بین طول موج تهییج و طول موج نشری  $\Delta\lambda = 15$  نانومتر است طیف اطلاعاتی را در زمینه باقی مانده های Tyr ارائه می‌دهد و زمانی که  $\Delta\lambda = 60$  نانومتر است طیف اطلاعات مریبوط به باقی مانده Trp را نشان می‌دهد، تغییر در موقعیت حداقل طول موج نشری، تغییر در قطبیت محیط اطراف باقی مانده های Tyr یا Trp را نشان می‌دهد<sup>(۱۱)</sup>. شکل ۳، تغییرات طیف فلورسانس همزمان برای پیسین را نشان می‌دهد.

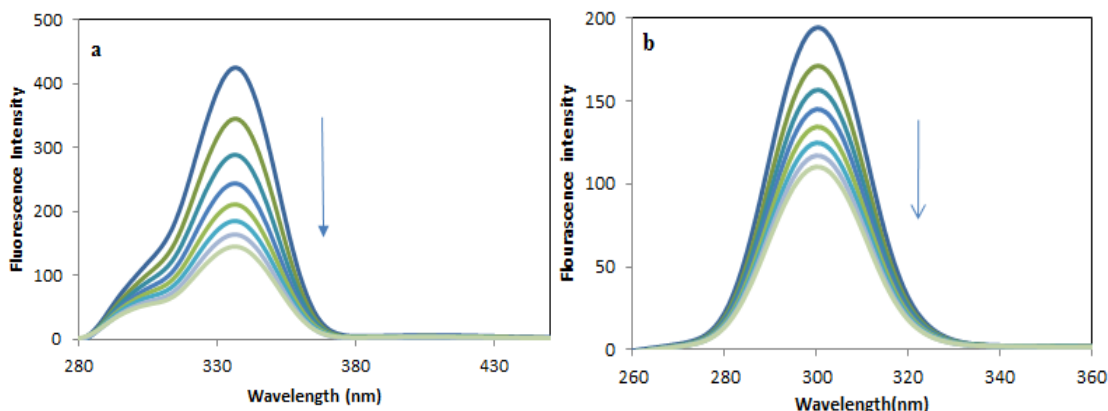
از نتایج جدول ۲ می‌توان دریافت که  $K_a$  برای اتصال قرمز آلورا به پیسین با افزایش دما کاهش می‌یابد، که نشان می‌دهد کمپلکس تشکیل شده ناپایدار است و در دماهای بالاتر تجزیه می‌شود<sup>(۲۳)</sup>. علاوه بر این مقادیر  $n$  نشان می‌دهد یک دسته جایگاه اتصال مستقل در پیسین برای رنگ وجود دارد. اساساً چهار نوع برهمنکش غیرکوالانسی در اتصال لیگاند به بیومولکول وجود دارد: پیوند هیدروژنی، نیروهای واندروالسی، نیروهای الکترواستاتیک و برهمنکش‌های هیدروفوب<sup>(۲۳)</sup>. علامت و مقدار پارامترهای ترمودینامیکی مانند تغییر انرژی آزاد ( $\Delta G^\circ$ )، تغییر آنتالپی ( $\Delta H^\circ$ ) و تغییر آنتروپی ( $\Delta S^\circ$ ) واکنش برای تعیین نوع برهمنکش اهمیت دارند. اگر  $\Delta H^\circ$  با تغییر دما خیلی تغییر نکند، مقدار  $\Delta H^\circ$  و  $\Delta S^\circ$  را می‌توان با استفاده از معادله وانت هوف به صورت زیر محاسبه کرد:

$$\ln K_a = -\frac{\Delta H^\circ}{RT} + \frac{\Delta S^\circ}{R} \quad (4)$$

که  $T$  دمای آزمایش بر حسب کلوین است،  $K_a$  ثابت اتصال است که از معادله (۳) به دست می‌آید و  $R$  ثابت گاز است. از شبی و عرض از مبدأ منحنی  $\ln K_a$  در مقابل  $1/T$ ، به ترتیب تغییر آنتالپی ( $\Delta H^\circ$ ) و تغییر آنتروپی ( $\Delta S^\circ$ ) به دست آمد. انرژی آزاد گیبس،  $\Delta G^\circ$ ، نیز با استفاده از معادله ترمودینامیکی زیر محاسبه شد<sup>(۱۲)</sup>:

$$\Delta G = \Delta H - T\Delta S \quad (5)$$

مقادیر پارامترهای ترمودینامیکی در جدول ۲ ارائه شده است. از جدول ۲ می‌توان نتیجه گرفت که علامت منفی

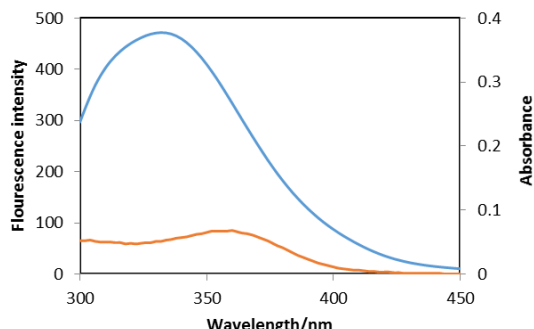


شکل ۳-۳) طیف فلورسانس همزنان برهمنکننین بین پپسین و رنگ قرمز آلورا در دمای اتاق (برای  $\Delta\lambda = 60$  نانومتر و (b)  $\Delta\lambda = 15$  نانومتر در طول موج تهییج  $\lambda_{max} = 220$  نانومتر و برای  $\Delta\lambda = 15$  نانومتر طول موج تهییج  $\lambda_{max} = 225$  نانومتر تنظیم گردید).

طیف جذبی پذیرنده است. مقدار  $J$  را می‌توان با استفاده از معادله زیر به دست آورد:

$$J = \frac{\sum F(\lambda) e(\lambda) \lambda^4 \Delta\lambda}{\sum F(\lambda) \Delta\lambda} \quad (3)$$

که  $F(\lambda)$  شدت فلورسانس دهنده در طول موج  $\lambda$  است و  $e(\lambda)$  ضریب جذب مولی پذیرنده در طول موج  $\lambda$  است. مقدار انتگرال همپوشانی با استفاده از رابطه (۸) و نرم افزار اکسل  $2016$  محاسبه شد و مقدار آن  $1.5 \text{ cm}^3 \text{ L mol}^{-1}$  می‌باشد. همچنانی طیف جذبی مرئی-فرابنفش رنگ قرمز آلورا با طیف نشری فلورسانس پپسین در شکل ۴ نشان داده شده است. تحت شرایط آزمایش برای پپسین  $\Phi = 0.15$ ,  $K^2 = 2.79 \times 10^{-22}$ ,  $n = 1.36$  می‌باشد (۲۷).



شکل ۴- همپوشانی طیف فلورسانس پپسین با طیف جذبی رنگ قرمز آلورا.  $C = 2.0 \times 10^{-6} \text{ mol L}^{-1}$  (رنگ قرمز آلورا) =  $C$  (پپسین) (قرمز: طیف جذبی پذیرنده انرژی، آبی: طیف نشری دهنده انرژی)

نتایج نشان می‌دهند شدت فلورسانس برای هر دو باقی مانده تریپتوфан و تیروزین به تدریج همراه با افزایش رنگ قرمز آلورا کاهش می‌یابد که نشان دهنده تشکیل کمپلکس و برهمنکننین رنگ قرمز آلورا با باقی مانده تیروزین و تریپتوfan در پپسین است، همچنین با افزایش غلظت رنگ تغییری در موقعیت  $\lambda_{max}$  مشاهده نگردید، که حاکی از نبود تغییر قابل توجه در محیط اطراف فلوروفور است.

انتقال انرژی بین پپسین و رنگ قرمز آلورا: با توجه به نظریه انتقال انرژی غیر تابشی فورستر کارابی انتقال انرژی بین دهنده و پذیرنده،  $E$ , می‌تواند توسط معادله زیر تعیین شود (۵) :

$$E = 1 - \frac{F}{F_0} = \frac{R\delta}{R\delta + n\delta} \quad (4)$$

که  $\delta$  فاصله لیگاند تا باقیمانده تریپتوfan پروتئین است.  $R_0$  فاصله بحرانی است هنگامی که بازده انتقال آنها  $50$  درصد می‌باشد و می‌تواند از معادله زیر تعیین شود:

$$R\delta = 8.79 \times 10^{-22} K^2 N^{-4} \Phi J \quad (5)$$

$K^2$  فاکتور جهت گیری فضایی مربوط به هندسه دهنده و پذیرنده دو قطبی برای جهت گیری تصادفی در یک محلول است.  $n$  ضریب شکست محیط است،  $\Phi$  بهره کوانتمی فلورسانس دهنده در غیاب پذیرنده است و  $J$  انتگرال همپوشانی بین طیف نشری فلورسانس دهنده و

میزان مهارکنندگی رنگ قرمز آلورا در غلظت  $50\text{ }\mu\text{M}$  مولار برابر  $34/4$  درصد می‌باشد. این نتایج نشان می‌دهد هنگامی که رنگ قرمز آلورا وارد معده می‌شود می‌تواند فعالیت پیسین را مهار کند.

به طور کلی نتایج نشان می‌دهد که رنگ قرمز آلورا می‌تواند به طور خود به خود به پیسین متصل شود و فلورسانس ذاتی پروتئین را از طریق مکانیسم استاتیک خاموش کند. پارامترهای ترمودینامیکی نشان می‌دهد که پیوندهای هیدروژنی و نیتروهای وان در والسی نقش مهمی در برهمکنش رنگ قرمز آلورا با پیسین ایفاء می‌کنند. طیف سنجی فلورسانس همزمان نشان داد که محیط اطراف باقی مانده‌های تریپتوфан و تیروزین در فرآیند اتصال تغییرقابل توجهی نمی‌کند. علاوه بر این، رنگ قرمز آلورا باعث مهار فعالیت پیسین شد. نتایج حاصل از این تحقیق می‌تواند اطلاعات ارزشمندی در مورد برهمکنش رنگ قرمز آلورا با پروتئازهای گوارشی فراهم کنده در ارزیابی اثرات سمی رنگهای آزو مفید است.

در پژوهش‌های آتی می‌توان با انجام محاسبات دینامیک مولکولی نتایج حاصل از این تحقیق را تفسیر و همچنین تغییرات ساختاری پیسین ناشی از اتصال رنگ قرمز آلورا را بررسی نمود.

### تشکر و قدردانی

این تحقیق با حمایت مالی دانشگاه آزاد اسلامی واحد بندر عباس انجام شده است. بنابراین نویسنده مرتب سپاس خود را از آن دانشگاه محترم اعلام می‌دارد.

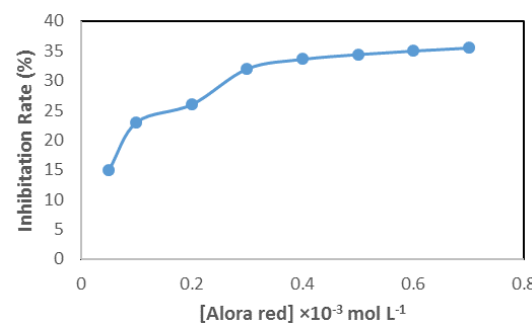
بر اساس معادلات ۸-۶ فاصله بین باقیمانده تریپتوфан پیسین (دهنده) و رنگ قرمز آلورا (پذیرنده)  $3/47$  نانومتر محاسبه شد که چون در محدوده  $2-8$  نانومتر و  $r < 0.5R_0 < 1.5R_0$  می‌باشد، نشان می‌دهد انتقال انرژی از پیسین به رنگ قرمز آلورا رخ داده است (۱۴).

فعالیت پیسین در حضور رنگ قرمز آلورا: به منظور نشان دادن اینکه آیا رنگ قرمز آلورا پس از ورود به بدن انسان از طریق غذا یا دارو می‌تواند فعالیت پیسین را تحت تأثیر قرار دهد، اثر رنگ آلورا بر فعالیت پیسین در محیط آزمایشگاهی طبق روش ذکر شده بررسی شد.

با استفاده از دستگاه اسپکتروفوتومتر، جذب در  $660$  نانومتر ( $\text{OD}_{660}$ ) اندازه گیری شد و فعالیت پیسین با استفاده از رابطه زیر محاسبه شد (۳):

$$\frac{\text{OD}_{660 \text{ Blank}} - \text{OD}_{660 \text{ sample}}}{\text{OD}_{660 \text{ Blank}}} \times 100 = (\%) \text{ نرخ بازدارندگی آنزیم}$$

همان طور که در شکل ۵ نشان داده شده است، فعالیت آنزیم در حضور رنگ قرمز آلورا با غلظتهای مختلف تغییر می‌کند. با افزایش غلظت رنگ، میزان بازدارندگی افزایش می‌یابد و فعالیت پیسین کاهش می‌یابد.



شکل ۵- اثر رنگ قرمز آلورا بر فعالیت پیسین در دمای  $310$  کلوین و  $C_{\text{Pepsin}} = 20/\mu\text{M}$

### منابع

- 1- ریاحی مدواو، ع، قاسمی نسب، ع.ر. ۱۳۹۶. مطالعه میانکنش نانوذره اکسید مس با آلبومین سرم انسانی با استفاده از تکنیک

- اکسید آهن. مجله پژوهش‌های سلولی و مولکولی (مجله زیست‌شناسی ایران). ۳۰(۴): ۳۵۱-۳۴۴.
- 3- Anson, M. L. 1938. The estimation of pepsin, trypsin, papain, and cathepsin with hemoglobin. *The Journal of general physiology*, 22(1): 79.
- 4- Chung, K. T. 2000. Mutagenicity and carcinogenicity of aromatic amines metabolically produced from azo dyes. *Journal of Environmental Science & Health Part C*, 18(1): 51-74.
- 5- Föster, T. and Sinanoglu O. 1996. Modern quantum chemistry, Academic 3: 93-338.
- 6- Gičević, A. Hindija, L. and Karačić, A. 2019. Toxicity of Azo Dyes in Pharmaceutical Industry. In International Conference on Medical and Biological Engineering: 581-587.
- 7- Helal, E. G. 2001. Progressive effects of the interaction of sodium nitrite and sunset yellow on different physiological parameters in albino rats. *The Egyptian Journal of Hospital Medicine*, 2: 23-46.
- 8- Iranfar, H. Rajabi, O. Salari, R. and Chamani, J. 2012. Probing the interaction of human serum albumin with ciprofloxacin in the presence of silver nanoparticles of three sizes: multispectroscopic and  $\zeta$  potential investigation. *The Journal of Physical Chemistry B*, 116(6): 1951-1964.
- 9- Kashanian, S. Zeidali, S. H. Omidfar, K. and Shahabadi, N. 2012. Multi-spectroscopic DNA interaction studies of sunset yellow food additive. *Molecular biology reports*, 39(12): 10045-10051.
- 10- Lakowicz, J. Quenching of Fluorescence in Principles of Fluorescence Spectroscopy, 2006. Springer-Verlag, Berlin.
- 11- Mohseni-Shahri, F. S. Housaindokht, M. R. Bozorgmehr, M. R. and Moosavi-Movahedi, A. A. 2014. The influence of the flavonoid quercetin on the interaction of propranolol with human serum albumin: Experimental and theoretical approaches. *Journal of Luminescence*, 154: 229-240.
- 12- Mohseni-Shahri, F. S. Housaindokht, M. R. Bozorgmehr, M. R. and Moosavi-Movahedi, A. A. 2016. Influence of taxifolin on the human serum albumin-propranolol interaction: multiple spectroscopic and chemometrics investigations and molecular dynamics simulation. *Journal of Solution Chemistry*, 45(2): 265-285.
- 13- Mohseni-Shahri, F. S. Moeinpour, F. Malaekeh-Nikouei, B. and Nassirli, H. 2017. Combined multispectroscopic and molecular dynamics simulation investigation on the interaction between cyclosporine A and  $\beta$ -lactoglobulin. *International journal of biological macromolecules*, 95: 1-7.
- 14- Naik, P. Chimatarad S. and Nandibewoor, S. 2010. Interaction between a potent corticosteroid drug-dexamethasone with bovine serum albumin and human serum albumin: a fluorescence quenching and fourier transformation infrared spectroscopy study. *Journal of Photochemistry and Photobiology B: Biology*, 100(3): 147-159.
- 15- Pourreza, N. Rastegarzadeh S. and Larki, A. 2011. Determination of Allura red in food samples after cloud point extraction using mixed micelles. *Food Chemistry*, 126(3): 1465-1469.
- 16- Ross, P. D. and Subramanian, S. 1981. Thermodynamics of protein association reactions: forces contributing to stability. *Biochemistry*, 20(11): 3096-3102.
- 17- Samari, F. Hemmateenejad, B. Shamsipur, M. Rashidi, M. and Samouei, H. 2012. Affinity of two novel five-coordinated anticancer Pt (II) complexes to human and bovine serum albumins: a spectroscopic approach. *Inorganic chemistry*, 51(6): 3454-3464.
- 18- Shimada, C. Kano, K. Sasaki, Y. F. Sato, I. and Tsuda, S. 2010. Differential colon DNA damage induced by azo food additives between rats and mice. *The journal of toxicological sciences*, 35(4): 547-554.
- 19- Spelzini, D. Peleteiro, J. Picó, G. and Farruggia, B. 2008. Polyethyleneglycol-pepsin interaction and its relationship with protein partitioning in aqueous two-phase systems. *Colloids and Surfaces B: Biointerfaces*, 67(2): 151-156.
- 20- Tsuda, S. Murakami, M. Matsusaka, N. Kano, K. Taniguchi, K. and Sasaki, Y. F. 2001. DNA damage induced by red food dyes orally administered to pregnant and male mice. *Toxicological Sciences*, 61(1): 92-99.
- 21- Wang, L. Zhang, G. and Wang, Y. 2014. Binding properties of food colorant allura red with human serum albumin in vitro. *Molecular biology reports*, 41(5): 3381-3391.
- Wang, T. Zhao, Z. Wei, B. Zhang L. and Ji, L. 2010. Spectroscopic investigations on the binding of dibazol to bovine serum albumin. *Journal of Molecular Structure*, 970(1-3): 128-133.
- ۲- شارقی، ب.، شهدادنژاد، ک.، محمدی، ۳۹۴.۰. مطالعه پایداری ساختاری آنزیم پیسین در حضور نانوذرات اکسیدروی و

- 22- Wang, Y. Q. Zhang, H. M. Zhang, G. C. Zhou, Q. H. Fei, Z. H. Liu, Z. T. and Li, Z. X. 2008. Fluorescence spectroscopic investigation of the interaction between benzidine and bovine hemoglobin. *Journal of Molecular Structure*, 886(1-3): 77-84.
- 23- Ware, W. R. 1962. Oxygen quenching of fluorescence in solution: an experimental study of the diffusion process. *The Journal of Physical Chemistry*, 66(3): 455-458.
- 24- Ying, M., Huang, F. Ye, H. Xu, H. Shen, L. Huan, T. Huang, S. Xie, J. Tian, S. and Hu, Z. 2015. Study on interaction between curcumin and pepsin by spectroscopic and docking methods. *International journal of biological macromolecules*, 79: 201-208.
- 25- Yue, Y. Zhao, S. Liu, J. Yan, X. and Sun, Y. 2017. Probing the binding properties of dicyandiamide with pepsin by spectroscopy and docking methods. *Chemosphere*, 185: 1056-1062.
- 26- Zeng, H. j. Qi, T. Yang, R. You, J. and Qu, L. b. 2014. Spectroscopy and molecular docking study on the interaction behavior between nobiletin and pepsin. *Journal of fluorescence*, 24(4): 1031-1040.
- 27- Zeng, H.J. Liang, H.L. You, J. and Qu, L.B. 2014. Study on the binding of chlorogenic acid to pepsin by spectral and molecular docking. *Luminescence*, 29(7): 715-721.
- 28- Zhang, J. Zhuang, S. Tong, C. and Liu, W. 2013. Probing the molecular interaction of triazole fungicides with human serum albumin by multispectroscopic techniques and molecular modeling. *Journal of agricultural and food chemistry*, 61(30): 7203-7211.
- 29- Zohoorian-Abootorabi, T. Sanee, H. Iranfar, H. Saberi, M.R. and Chamani, J. 2012. Separate and simultaneous binding effects through a non-cooperative behavior between cyclophosphamide hydrochloride and fluoxymesterone upon interaction with human serum albumin: Multi-spectroscopic and molecular modeling approaches. *Spectrochimica Acta Part A: Molecular and Biomolecular Spectroscopy*, 88: 177-191.

## Study on the interaction of allura red food additive with pepsin using fluorescence technique

Mohseni-Shahri F.S.

**Dept. of Chemistry, Bandar Abbas Branch, Islamic Azad University, Bandar Abbas, I.R. of Iran.**

### Abstract

In this study, the interaction of pepsin with allura red food additive was investigated using a fluorescence spectroscopy method under quasi-physiological conditions. The experimental results indicated that allura red can quench the fluorescence of pepsin, the quenching rate constant ( $K_q$ ), indicates that the quenching mechanism is static. The apparent binding constant ( $K_a$ ) and binding site number ( $n$ ) were evaluated at different temperatures. The results show that the  $K_a$  for the association of SY with pepsin decreases with the rising temperature. Enthalpy ( $\Delta H^\circ$ ) and entropy ( $\Delta S^\circ$ ) were calculated as -45.584 (kJ mol<sup>-1</sup>) and -49.052 (J K<sup>-1</sup> mol<sup>-1</sup>) respectively, which shows the importance of hydrogen bond formation and van der Waal's interaction in binding of allura red to pepsin, the negative sign of free energy changes ( $\Delta G^\circ$ ) indicates the affinity of color to protein. The results of synchronous fluorescence spectra showed that the microenvironment around Tyr and Trp residues is not significant changed binding between pepsin and allura red. According to experimental data, red allura can reducing the pepsin activity.

**Key words:** Pepsin, Allura red color, Fluorescence spectroscopy, Enzyme activity.